

1/30

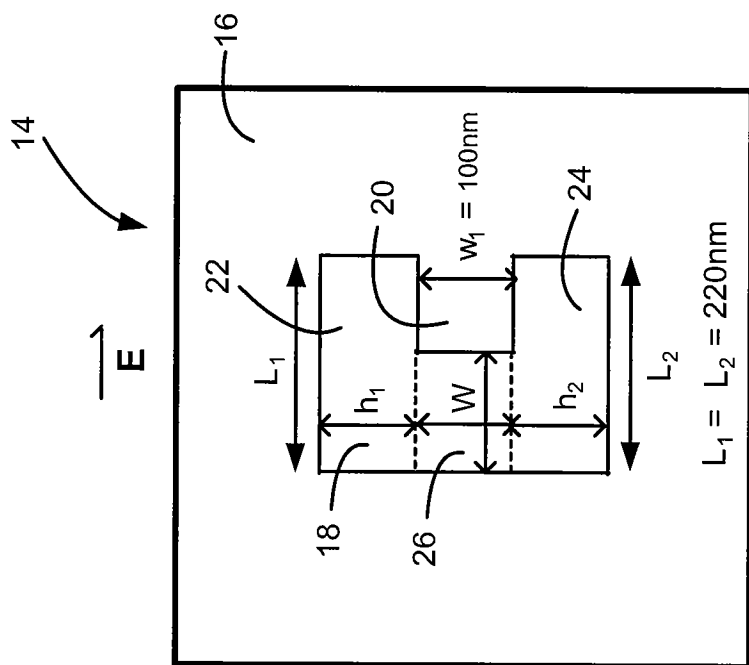


Fig. 2

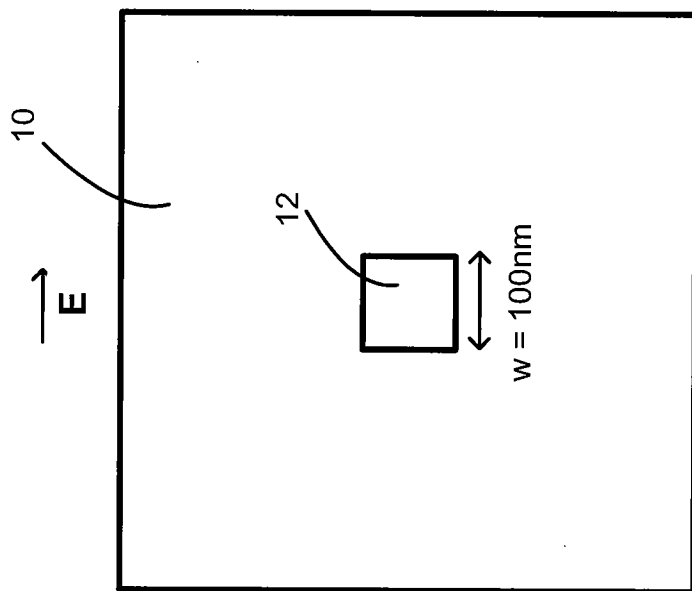
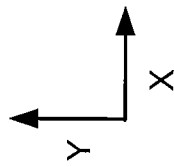


Fig. 1

2/30

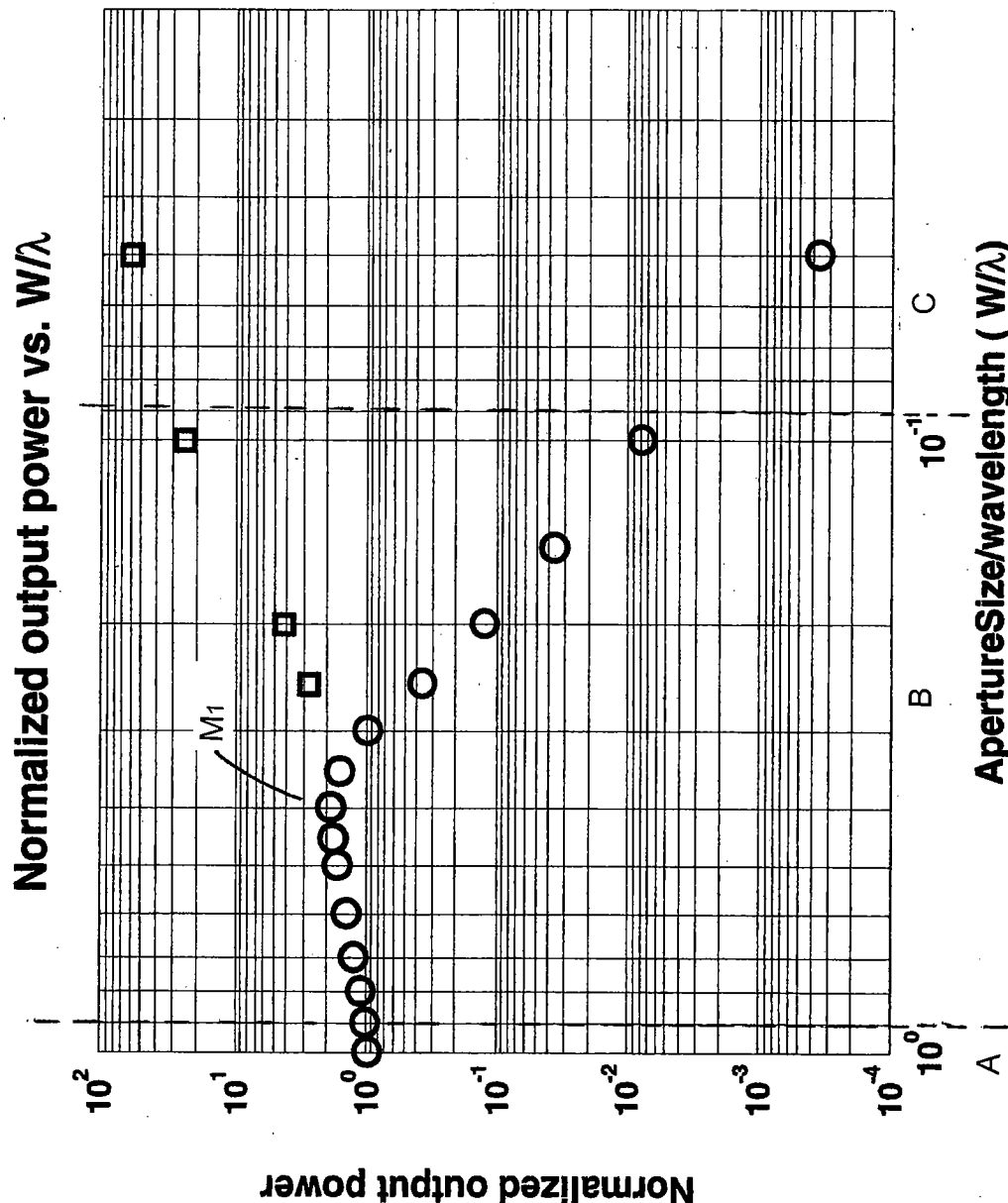


Fig. 3

3/30

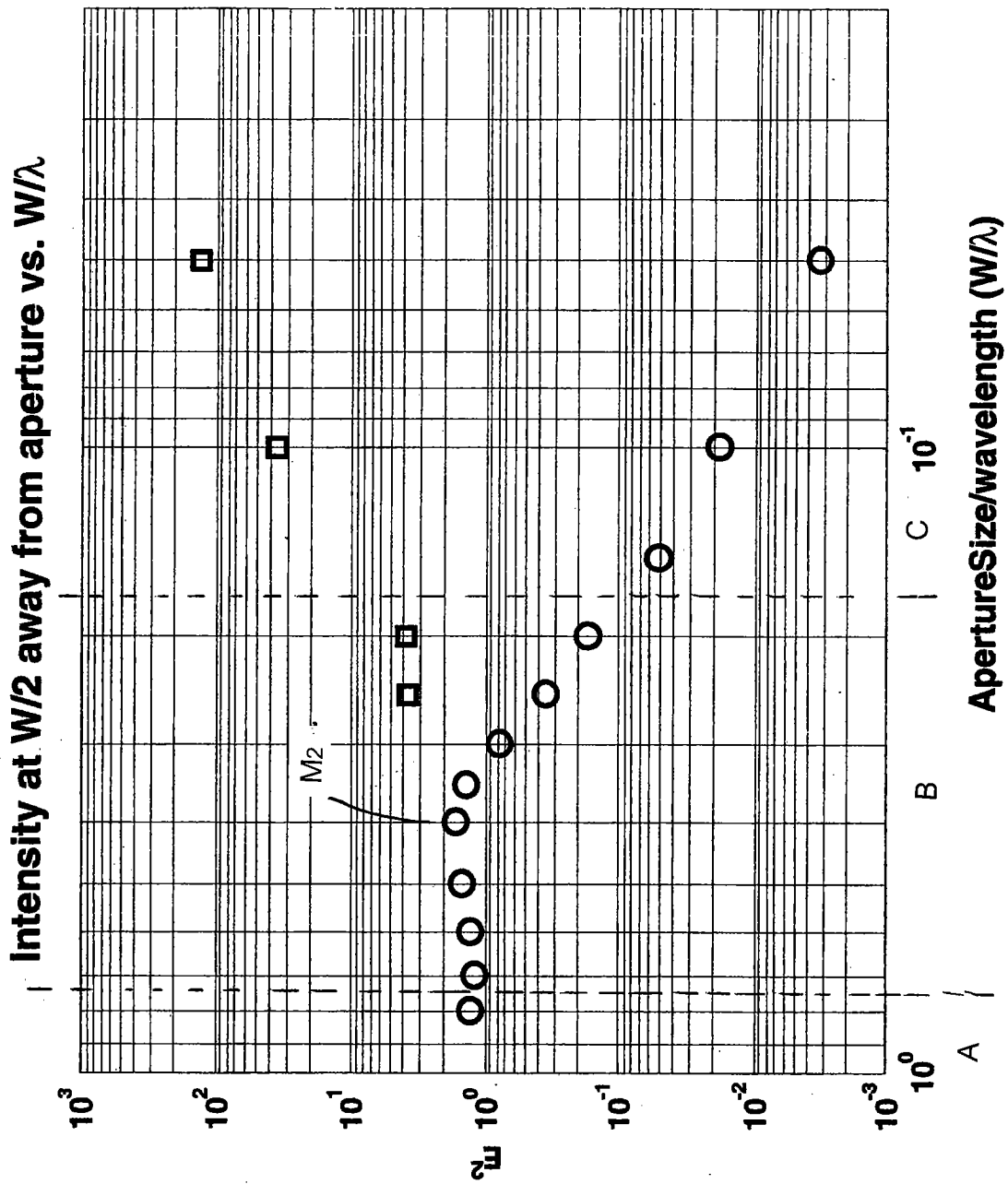


Fig. 4

4/30

Fig. 5

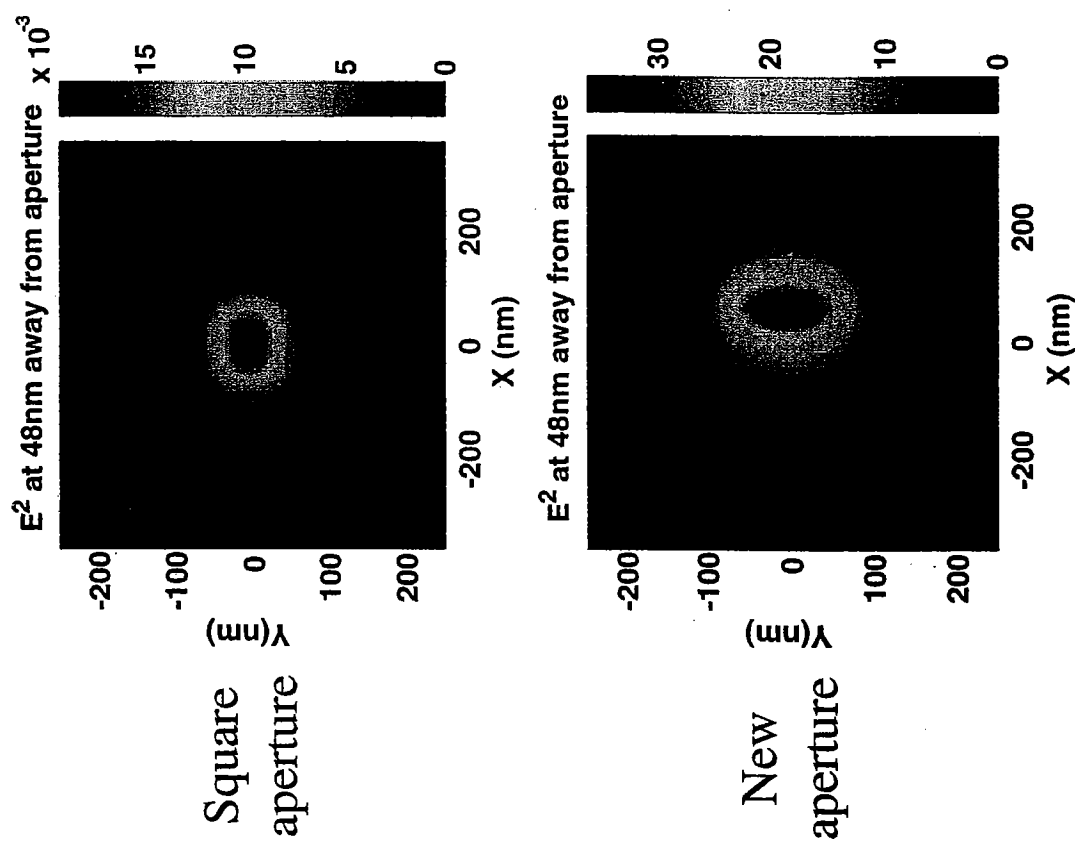


Fig. 6

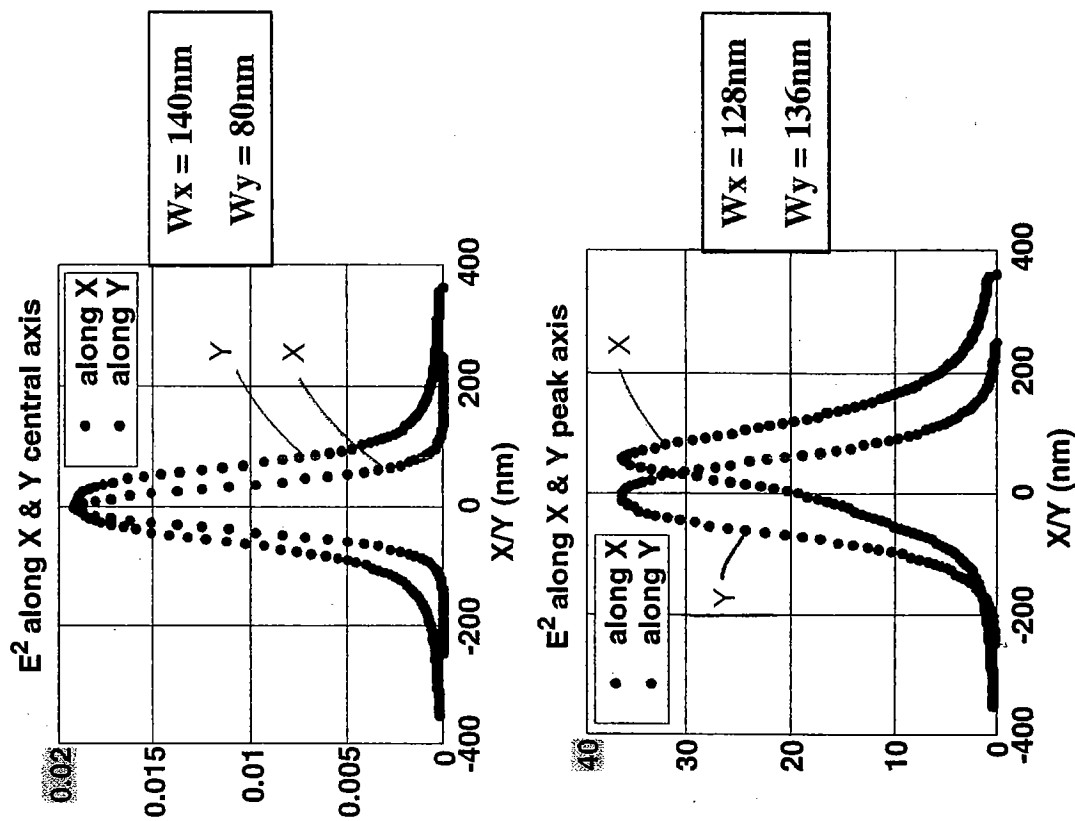


Fig. 7

Fig. 8

5/30

Fig. 9B

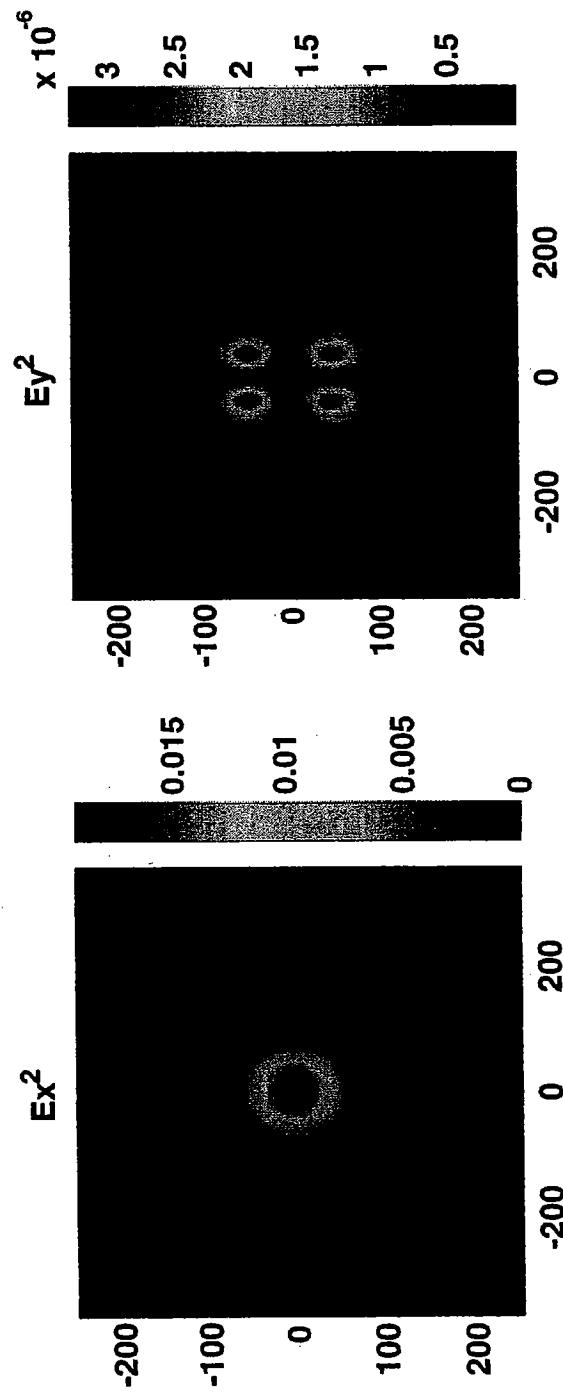


Fig. 9A

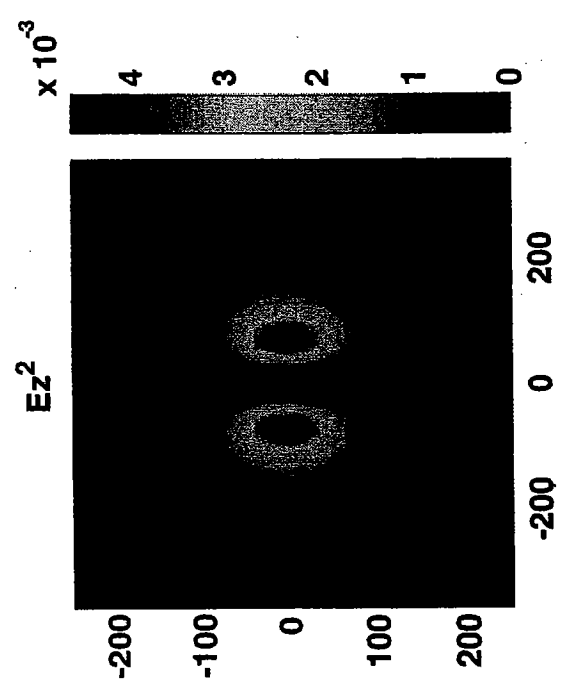
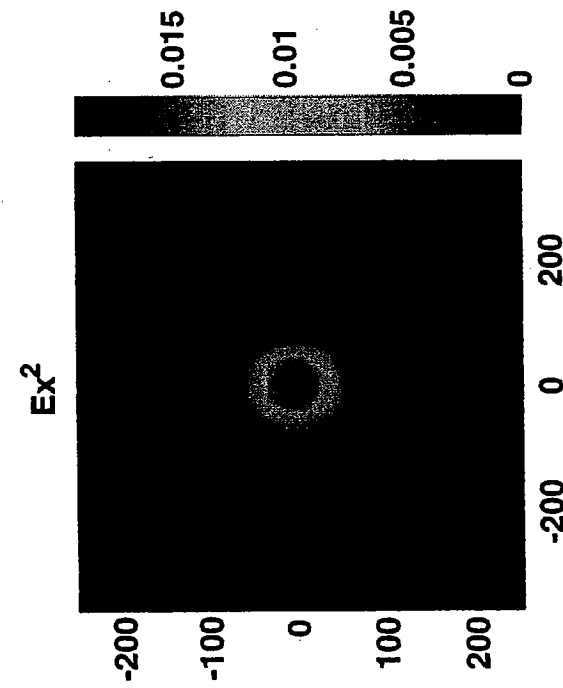


Fig. 9C

6/30

Fig. 10A

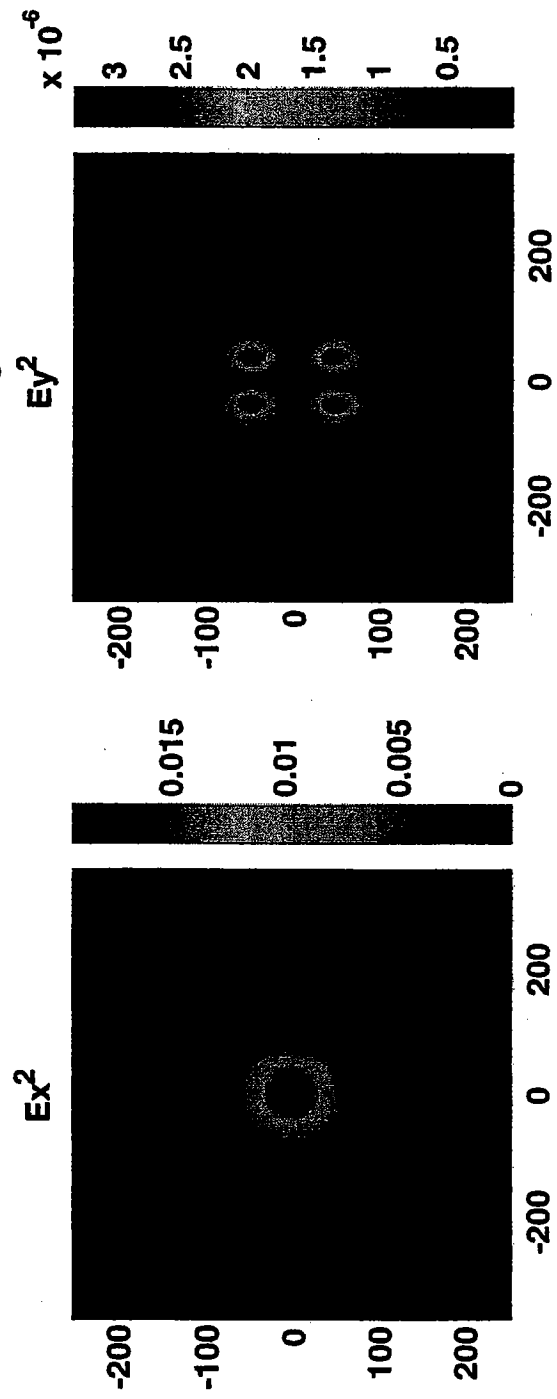


Fig. 10B

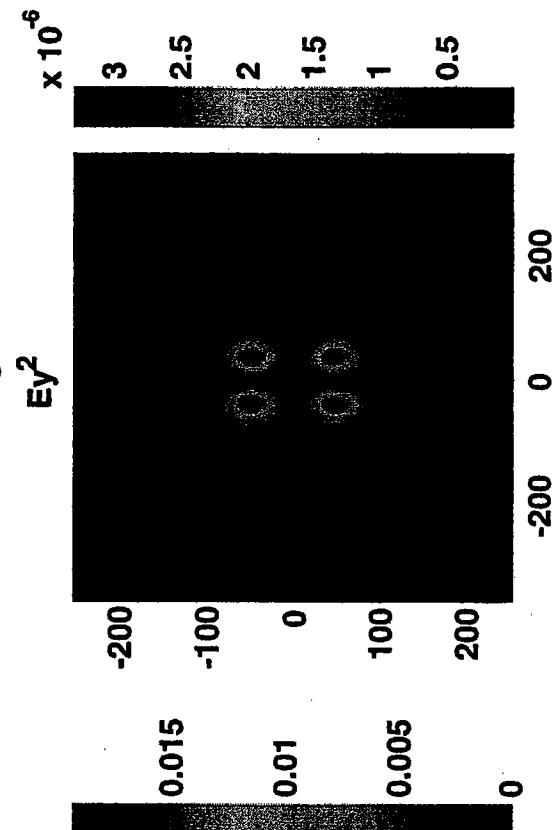
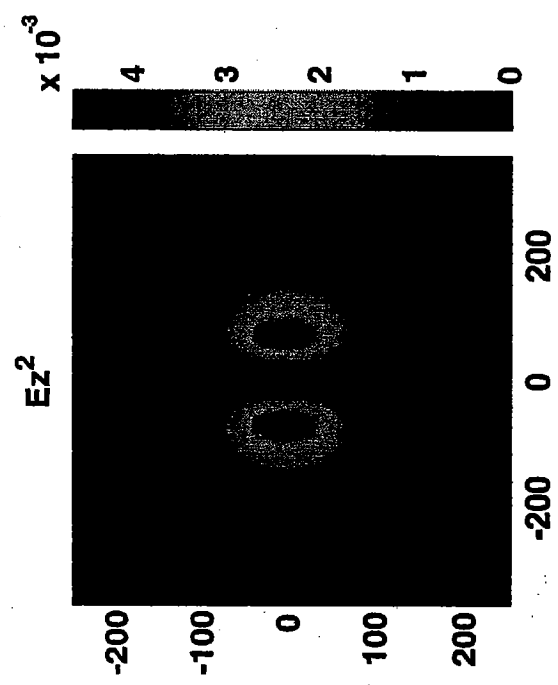


Fig. 10C



7/30

Fig. 11

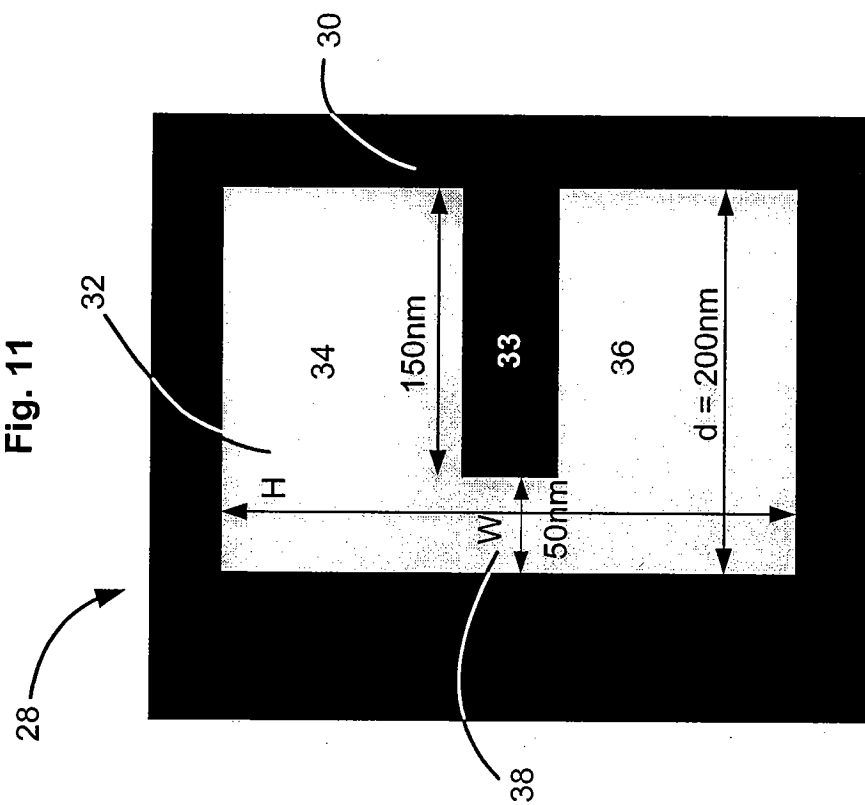


Fig. 12

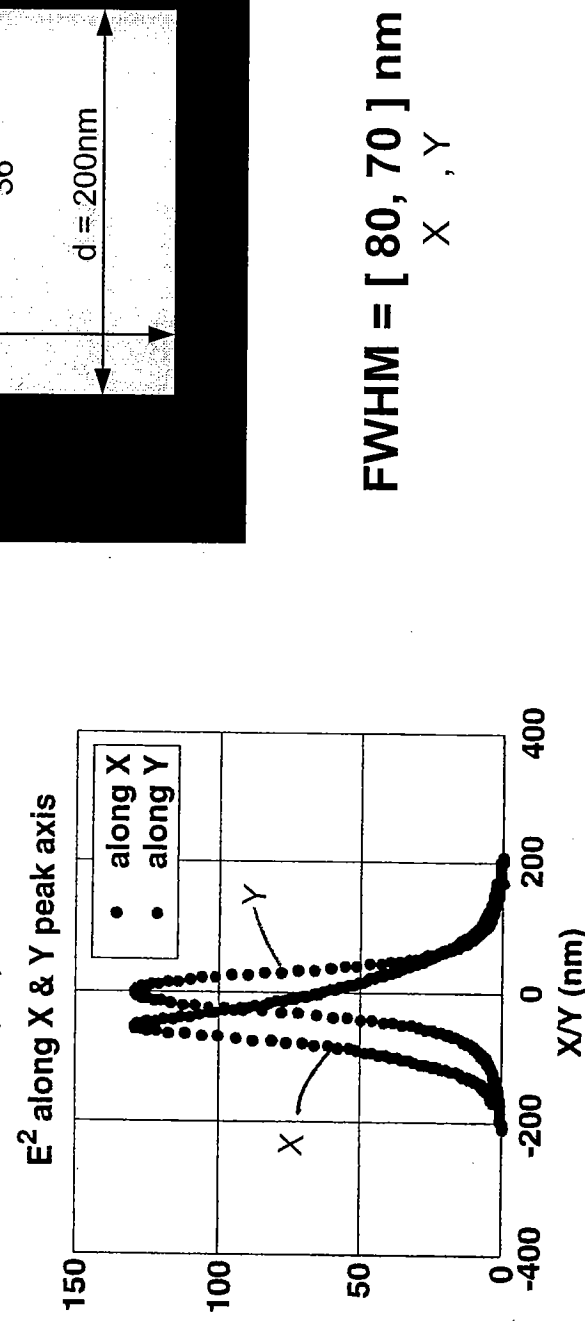
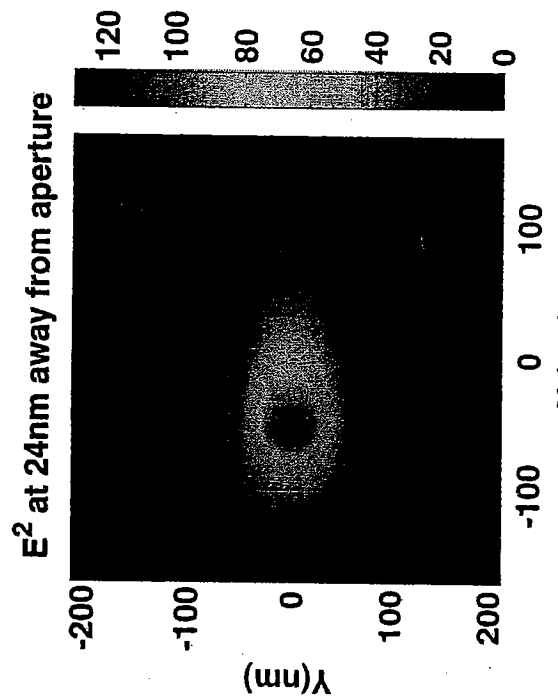


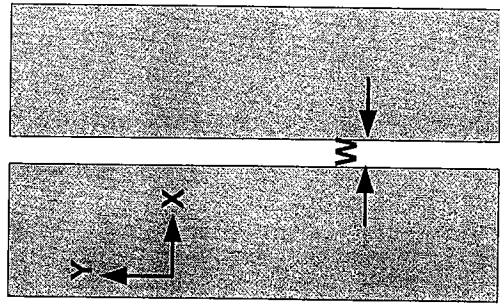
Fig. 13

8/30

Fig. 14C

slit width(W) (nm)	beam width(nm)	Sz/W
polar in X	polar in Y	polar in Y
350	420	4.43E+12
300	360	4.20E+12
250	320	3.97E+12
200	260	3.67E+12
150	200	3.35E+12

1D slit aperture



normalized power flux Sz vs. slit width

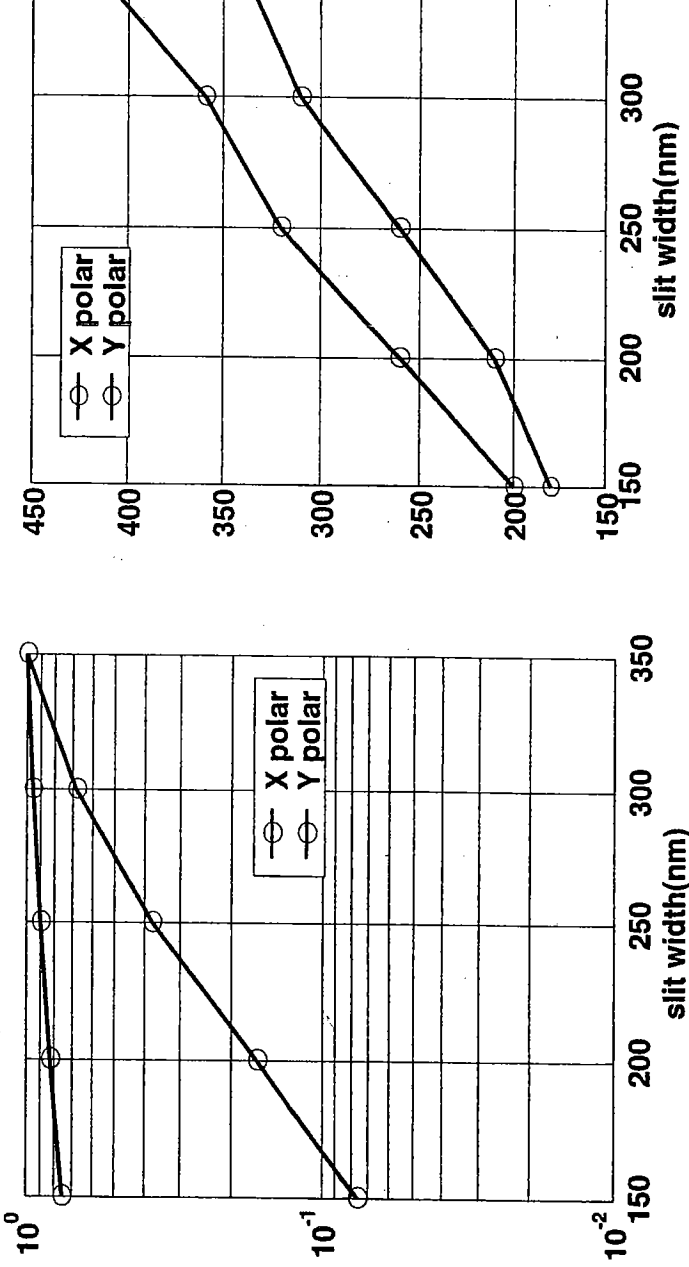


Fig. 14A

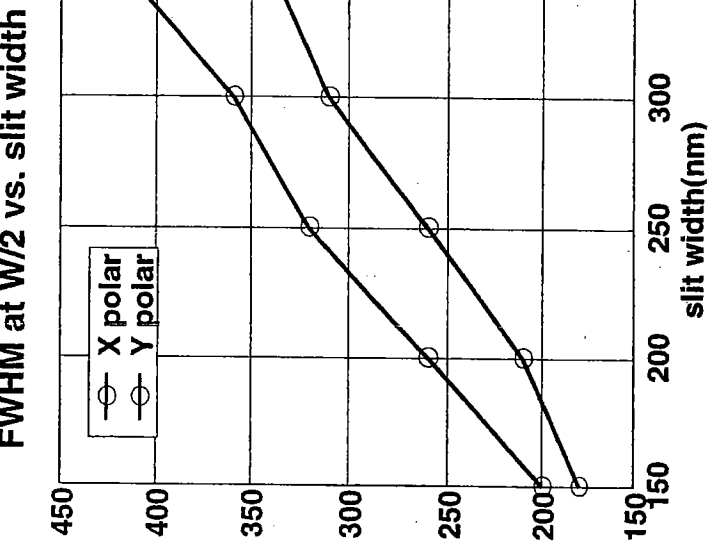


Fig. 14B

Fig. 14D

9/30

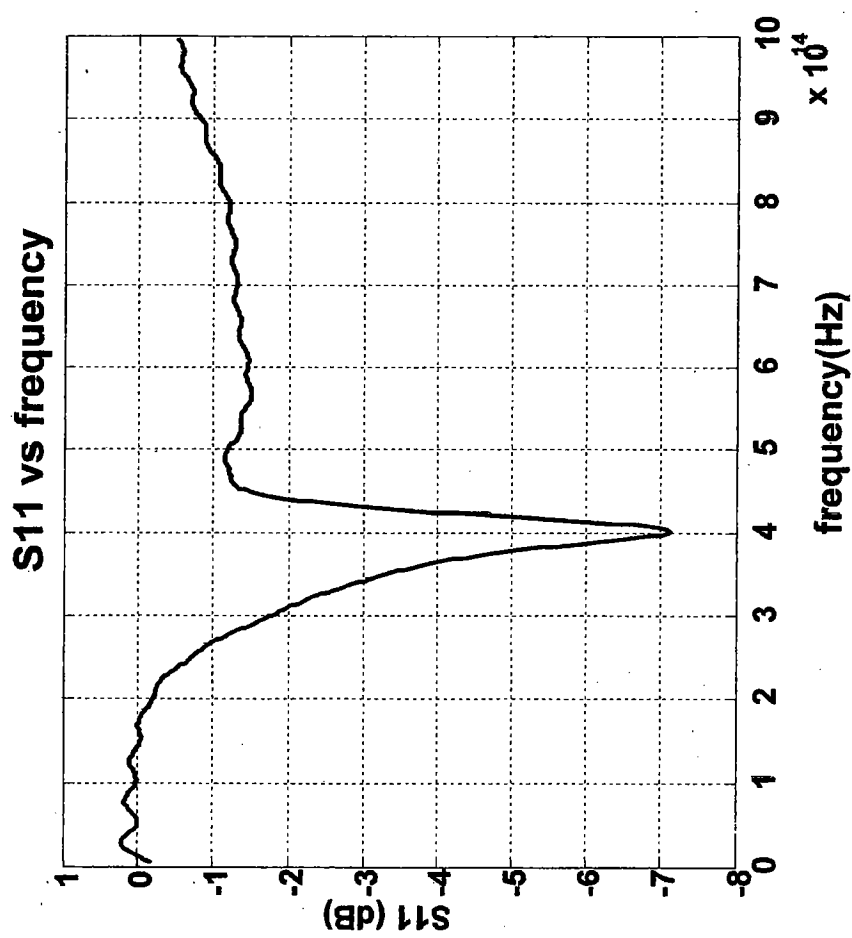


Fig. 15

10/30

Incident field( $E_x$ ) and output field( $E_x$ ) vs. time

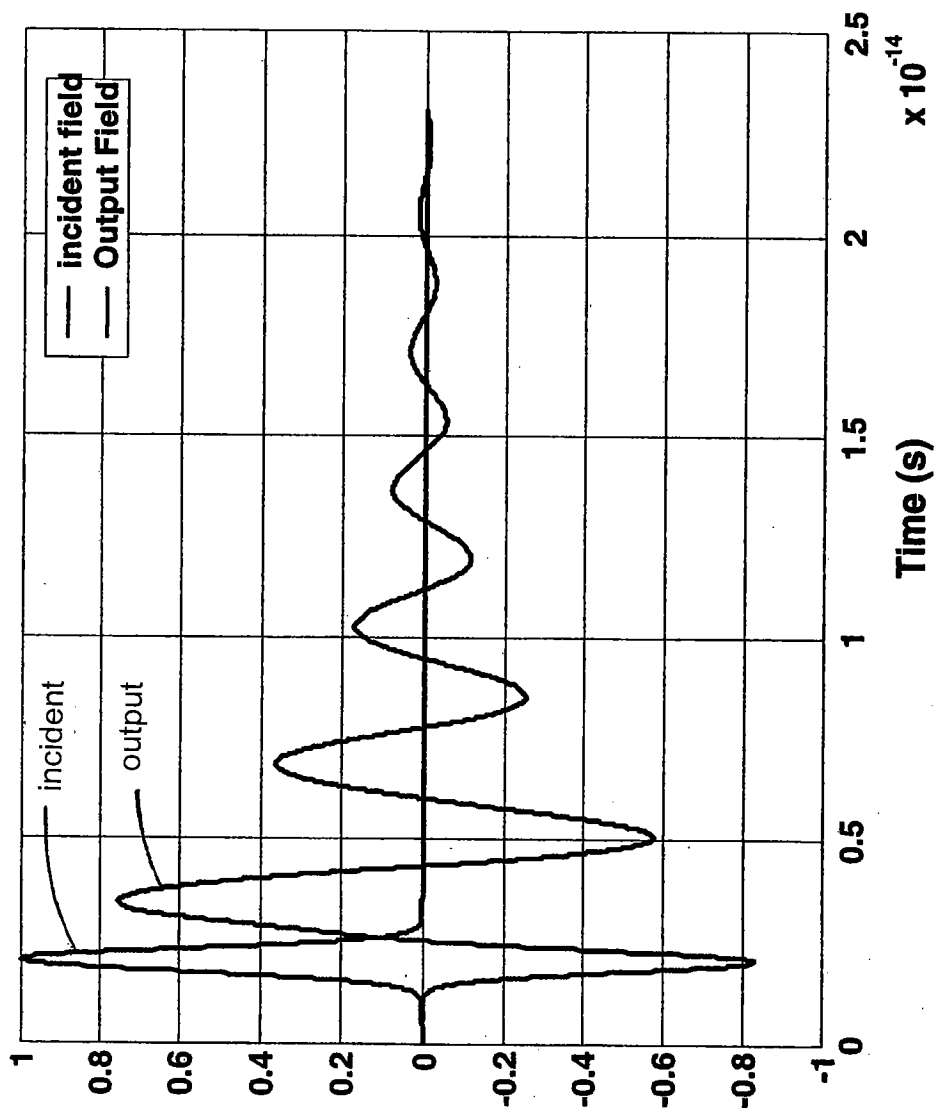


Fig. 16

11/30

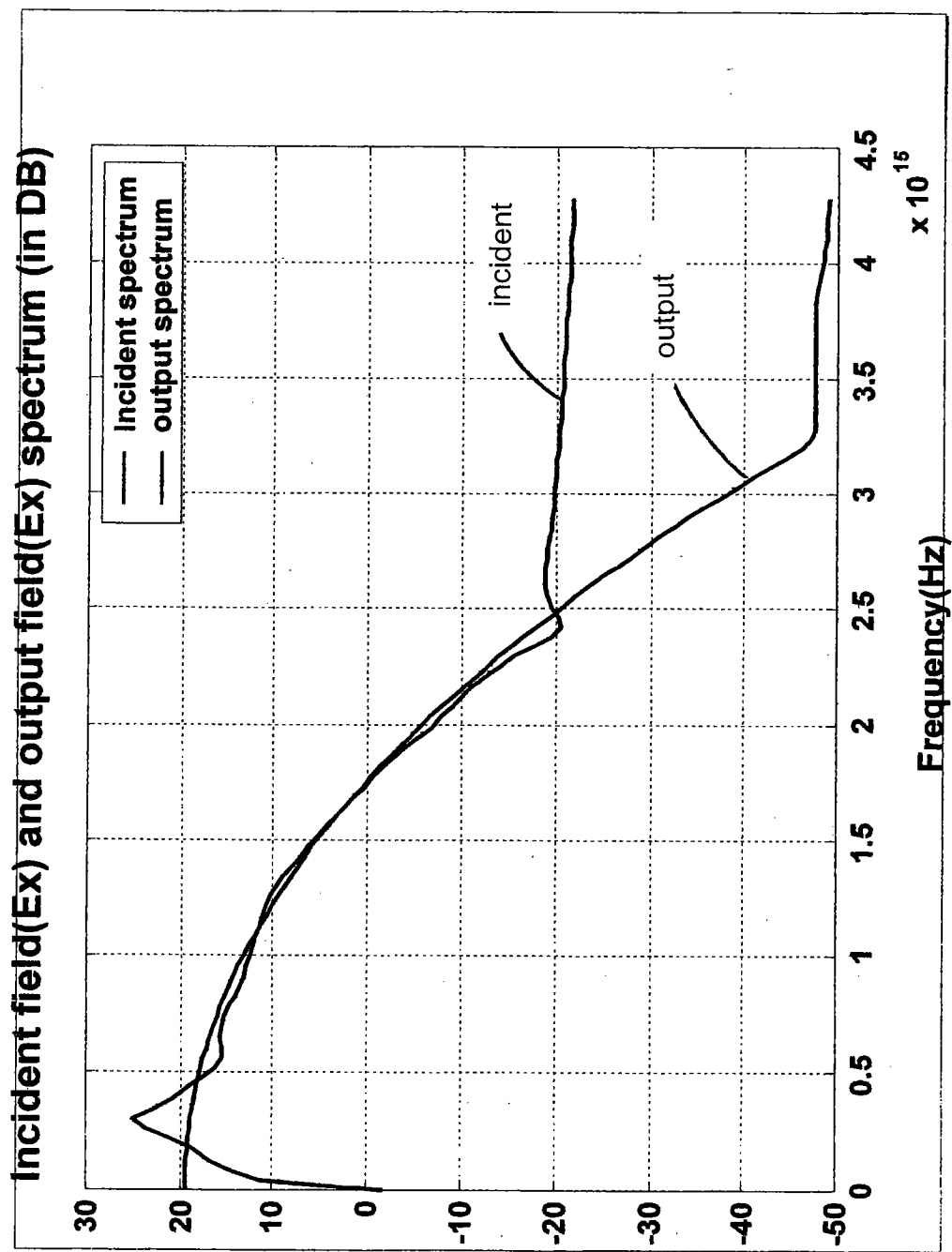


Fig. 17

12/30

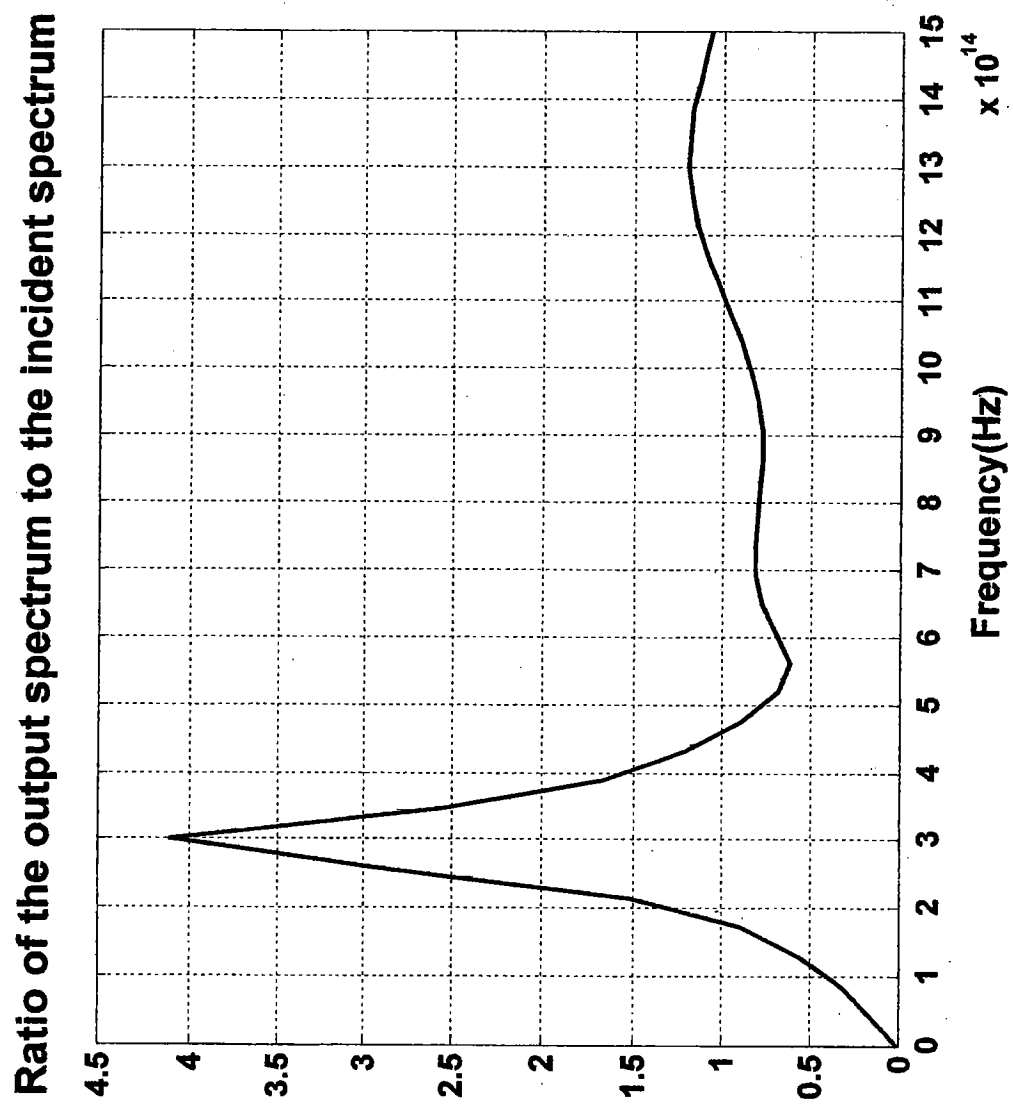


Fig. 18

13/30

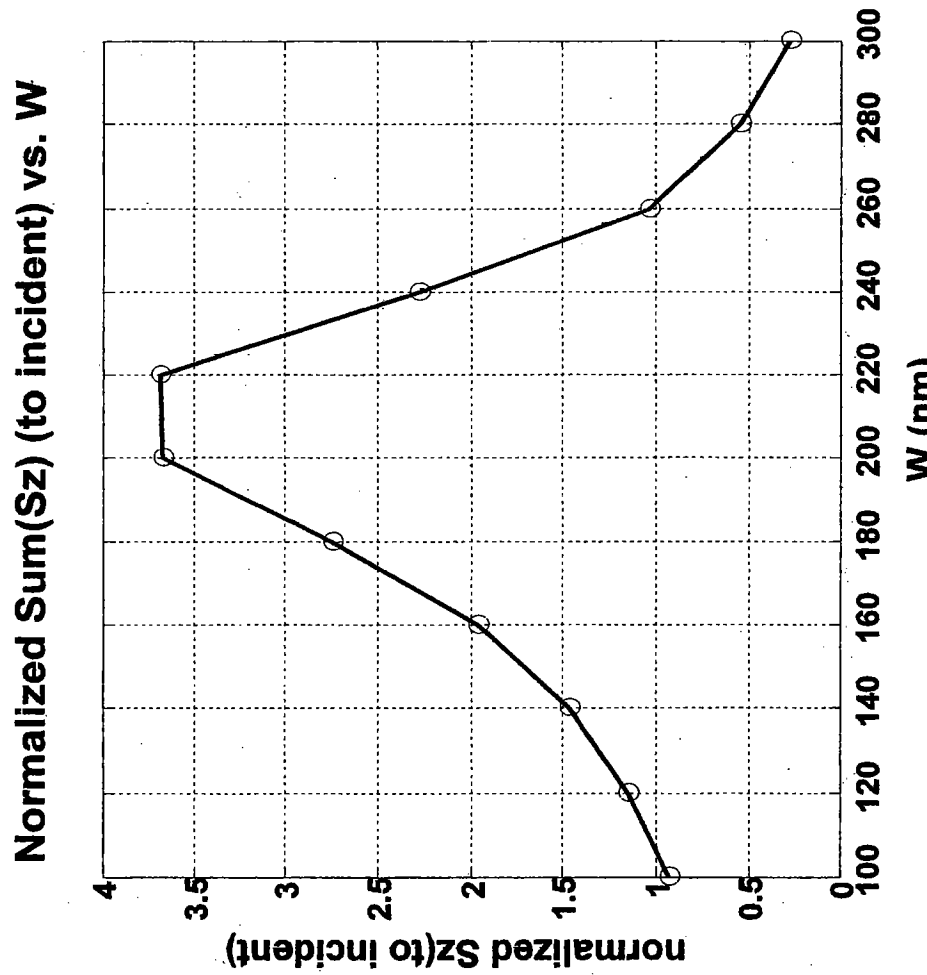


Fig. 19

14/30

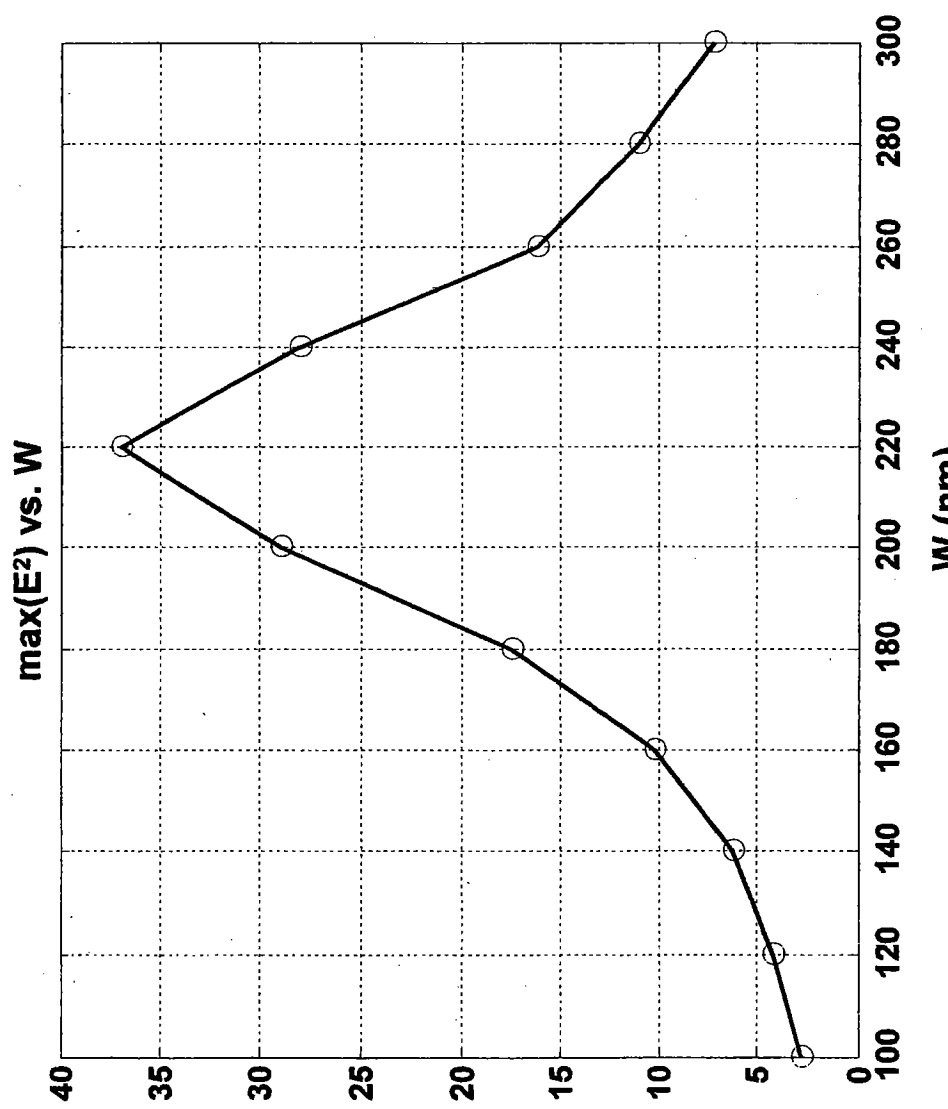


Fig. 20

15/30

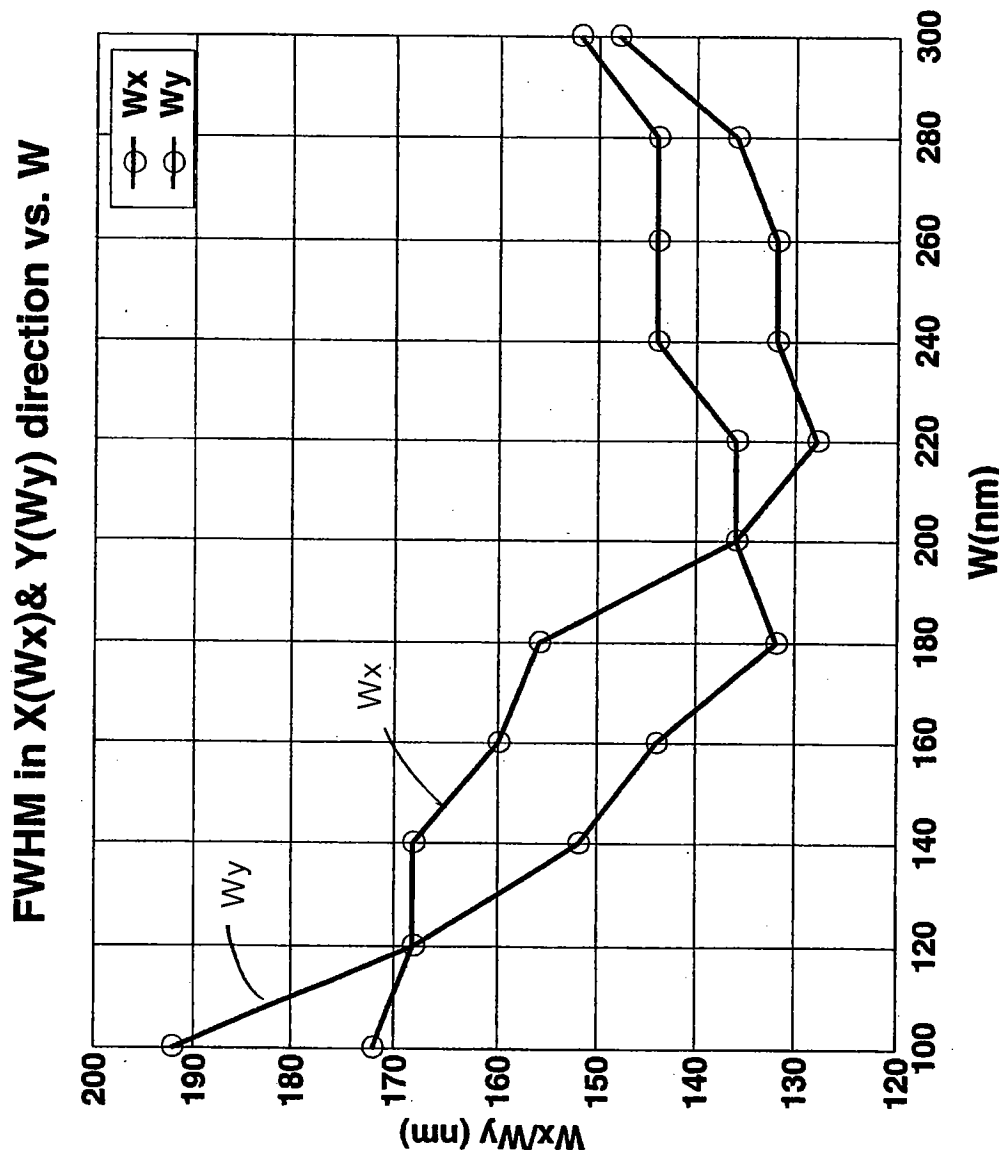


Fig. 21

16/30

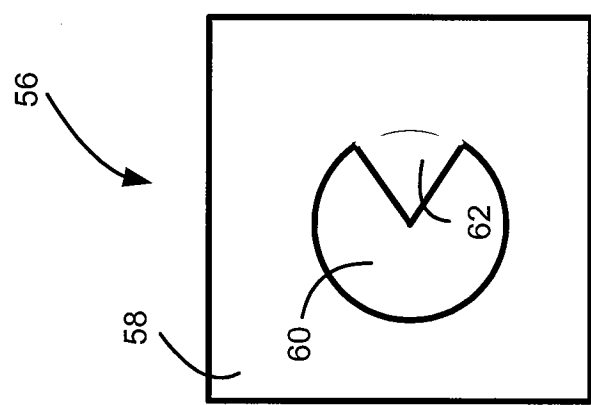


Fig. 22 C

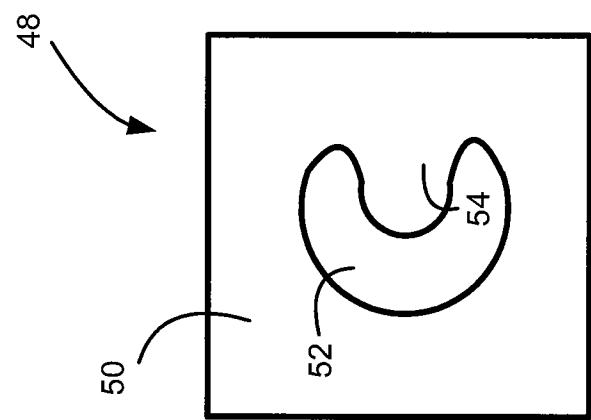


Fig. 22 B

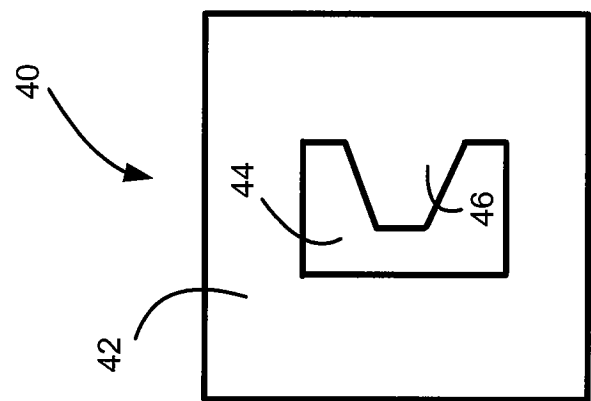


Fig. 22 A

17/30

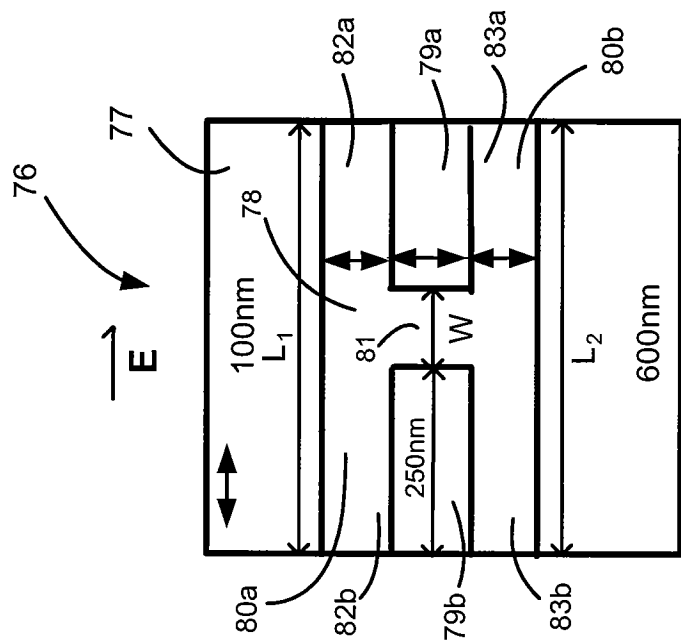


Fig. 23C

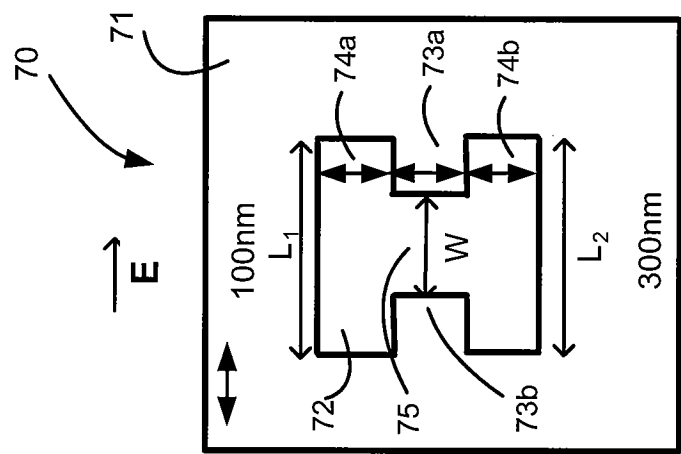


Fig. 23B

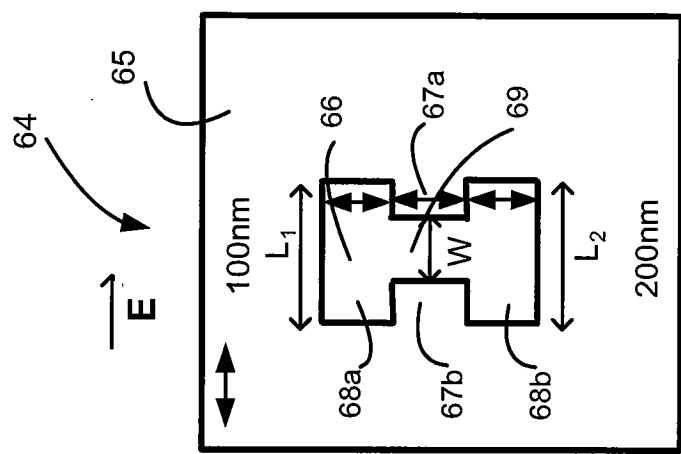
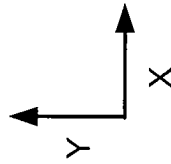


Fig. 23 A

18/30

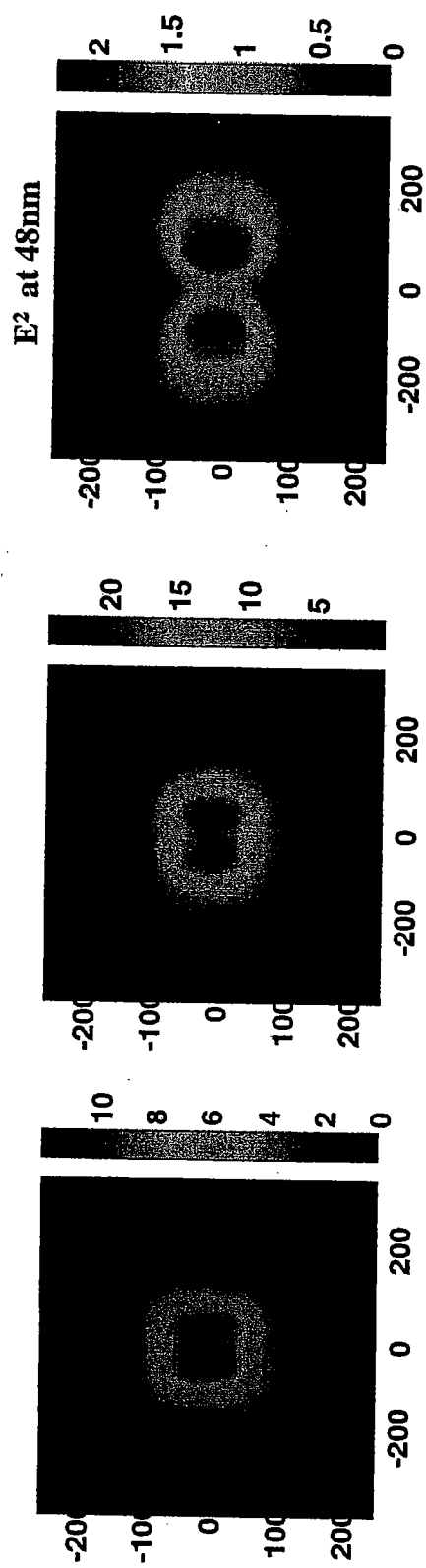
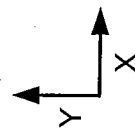


Fig. 24A      Fig. 24B

Fig. 24C



19/30

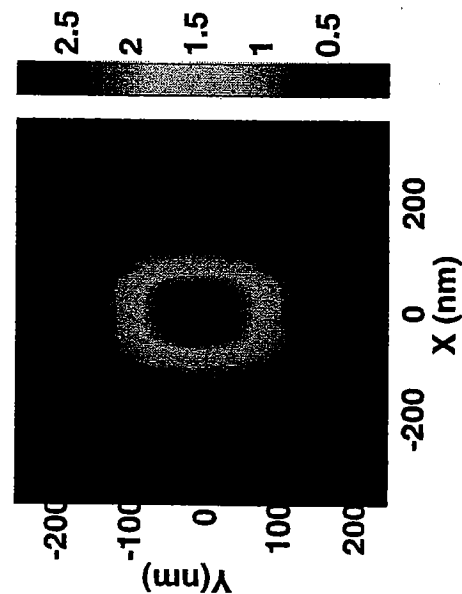


Fig. 25B

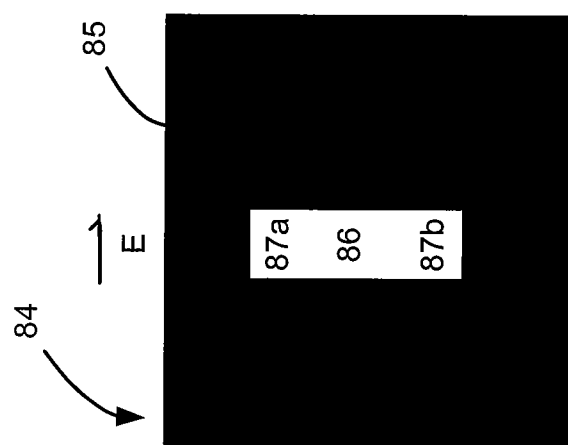
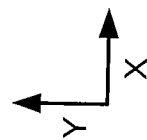


Fig. 25A

20/30

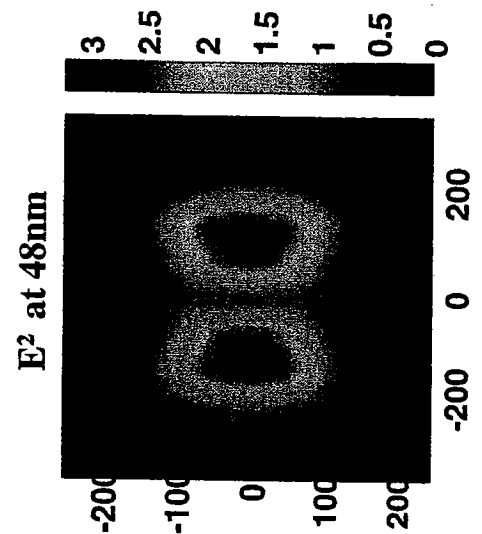


Fig. 26B

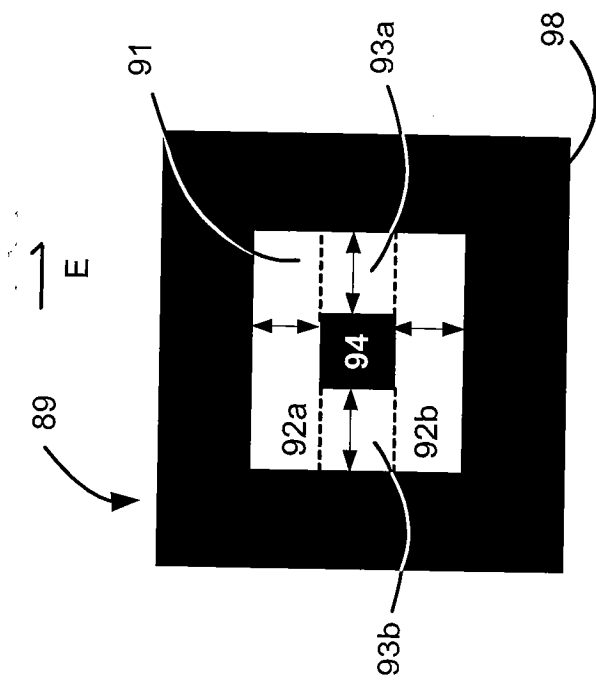
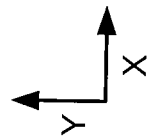


Fig. 26A



21/30

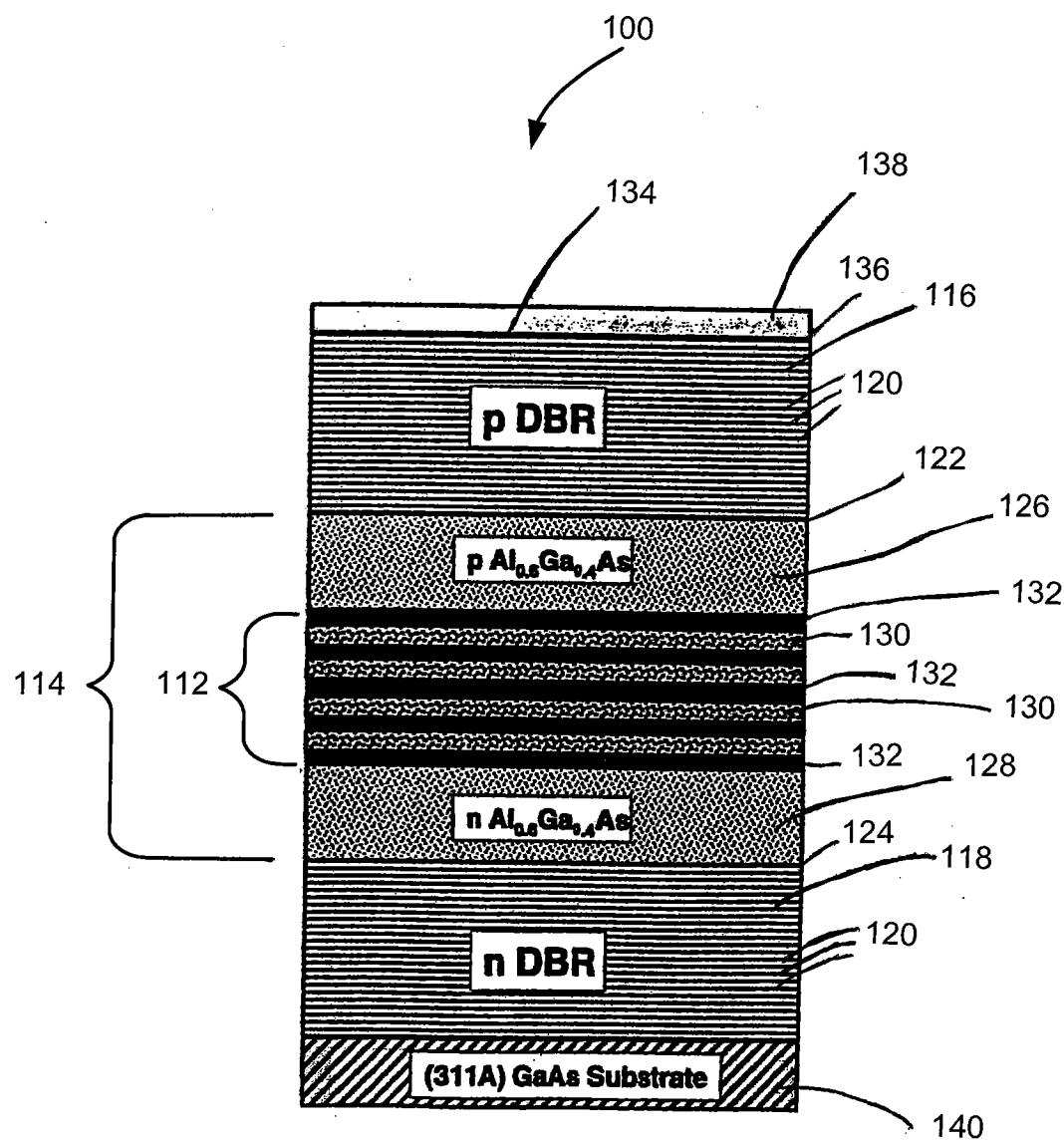


Fig. 27 (Prior Art)

22/30

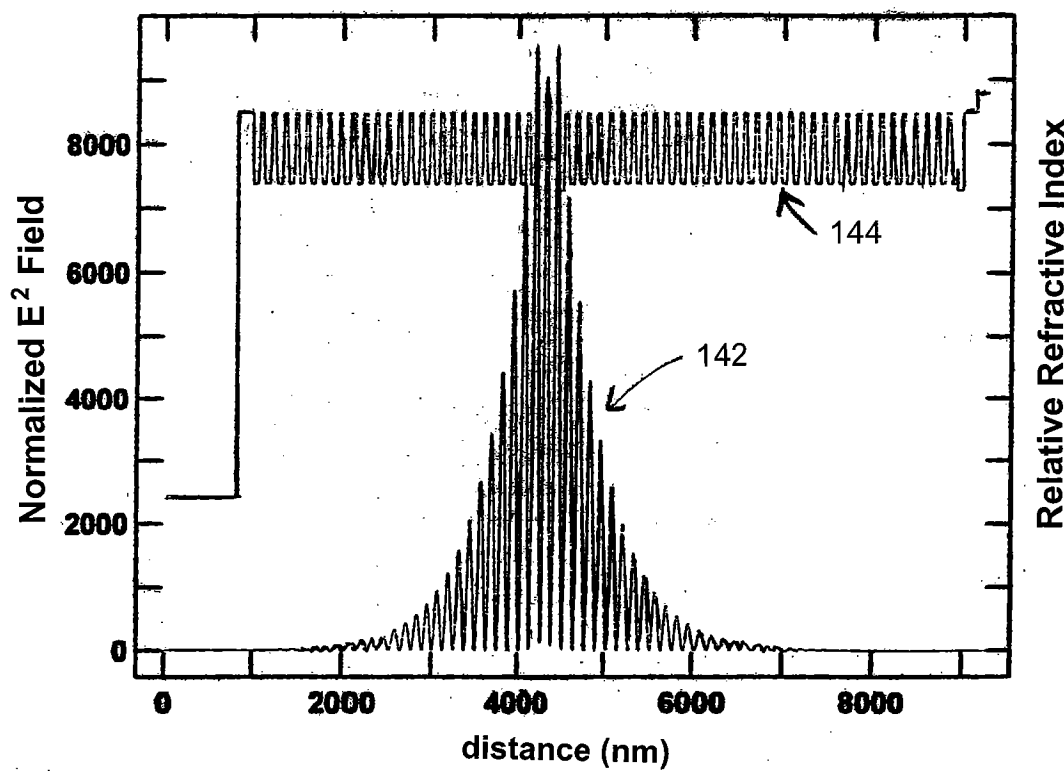


Fig. 28

23/30

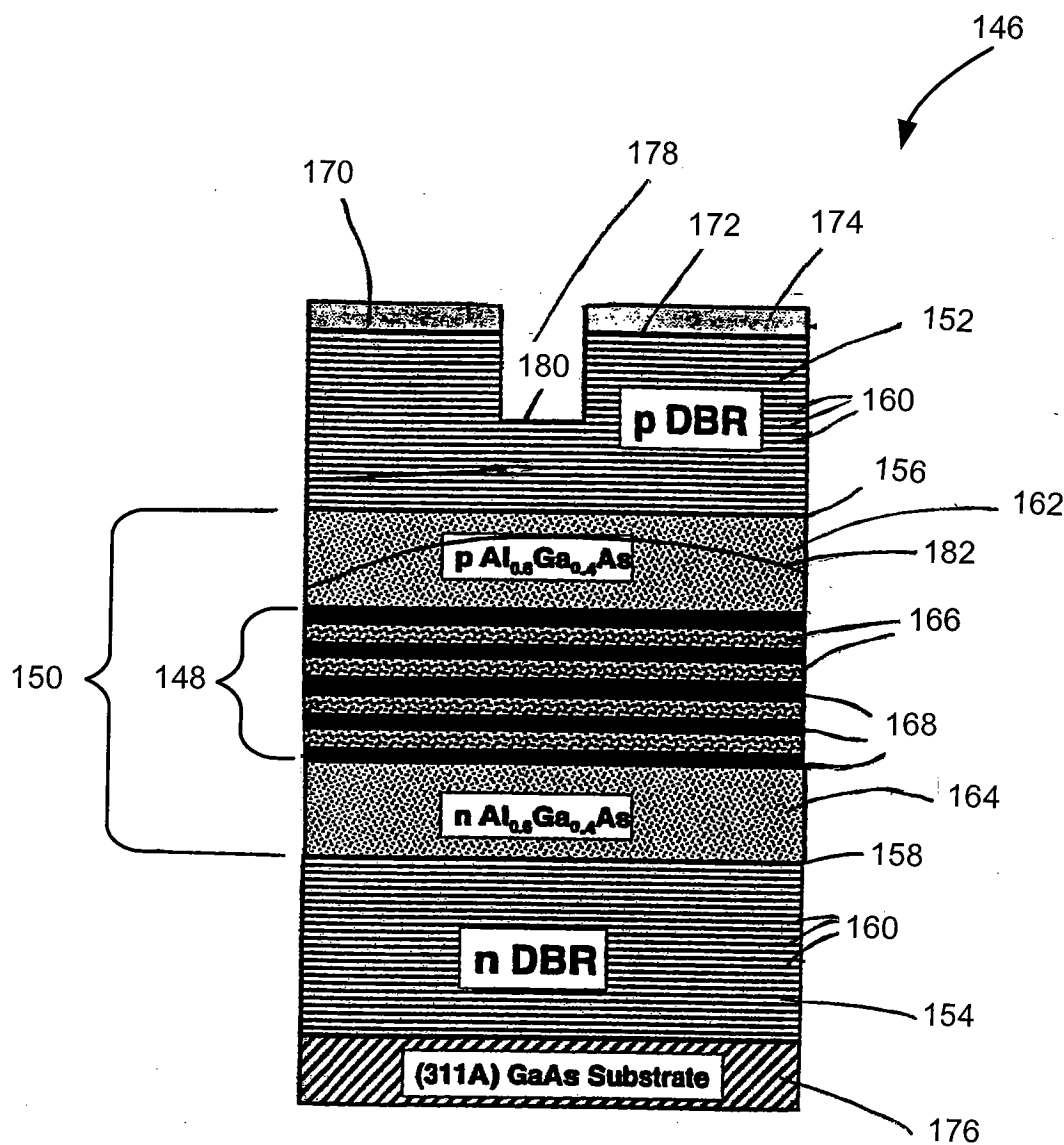


Fig. 29

24/30

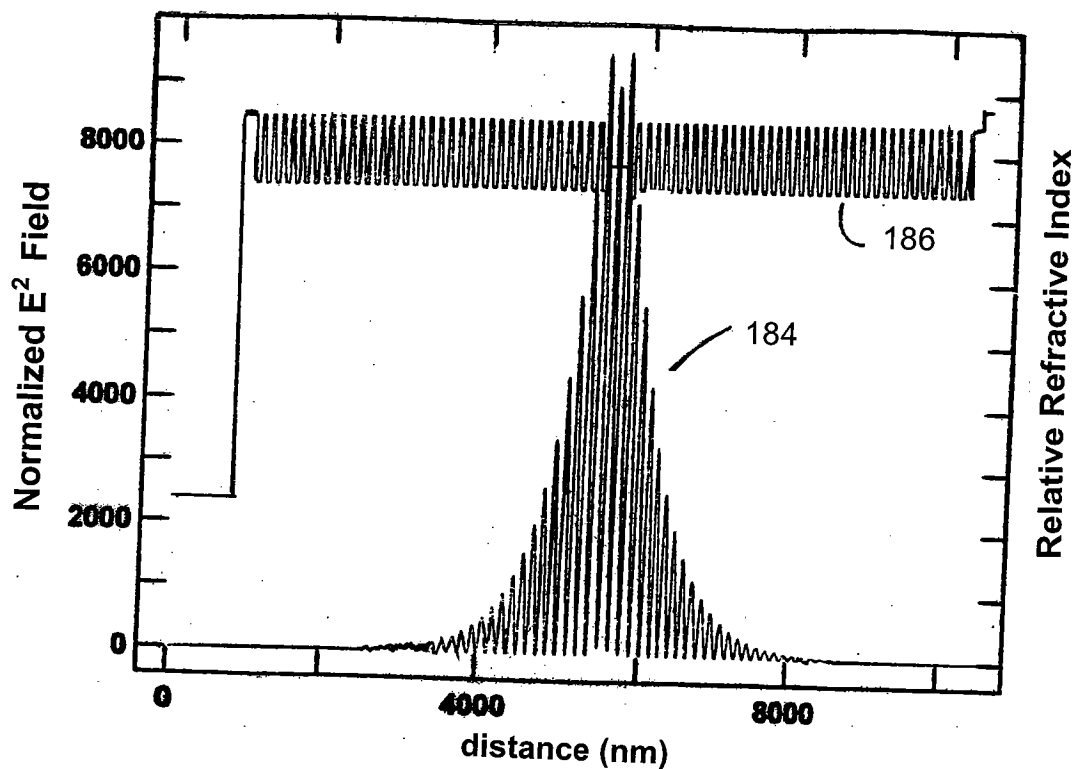


Fig. 30

25/30

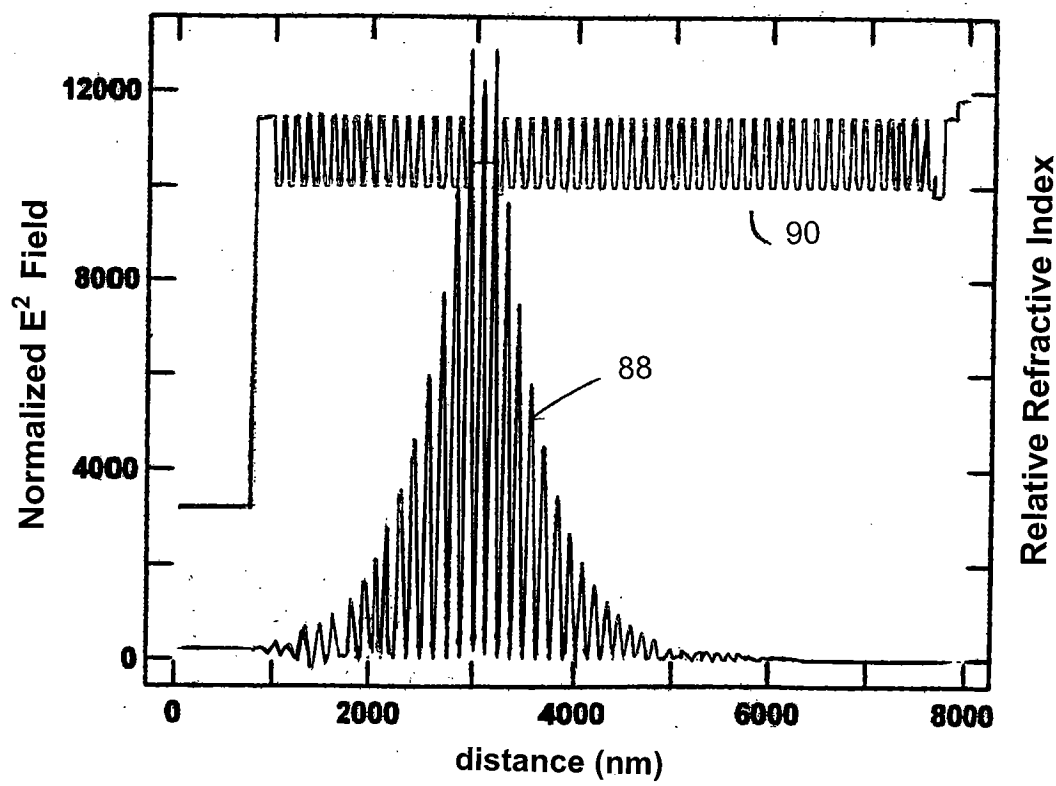


Fig. 31

26/30

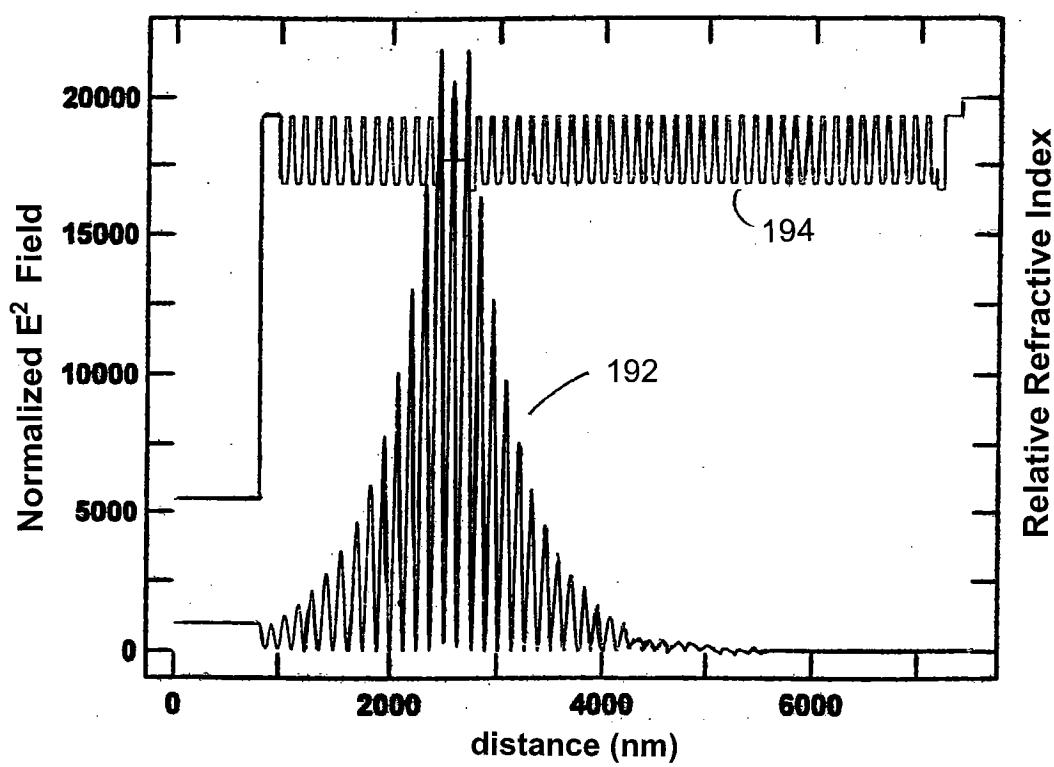


Fig. 32

27/30

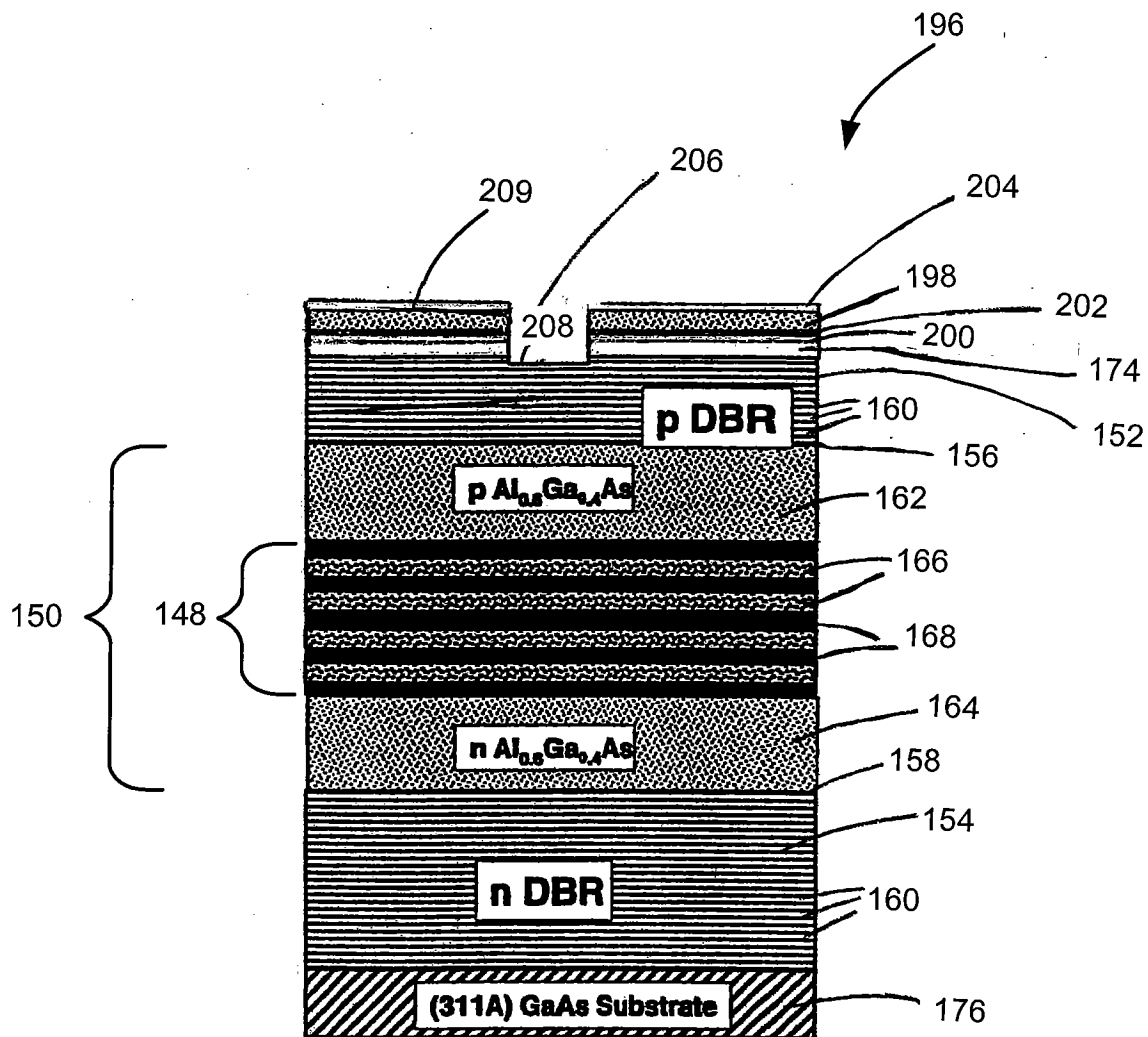


Fig. 33

28/30

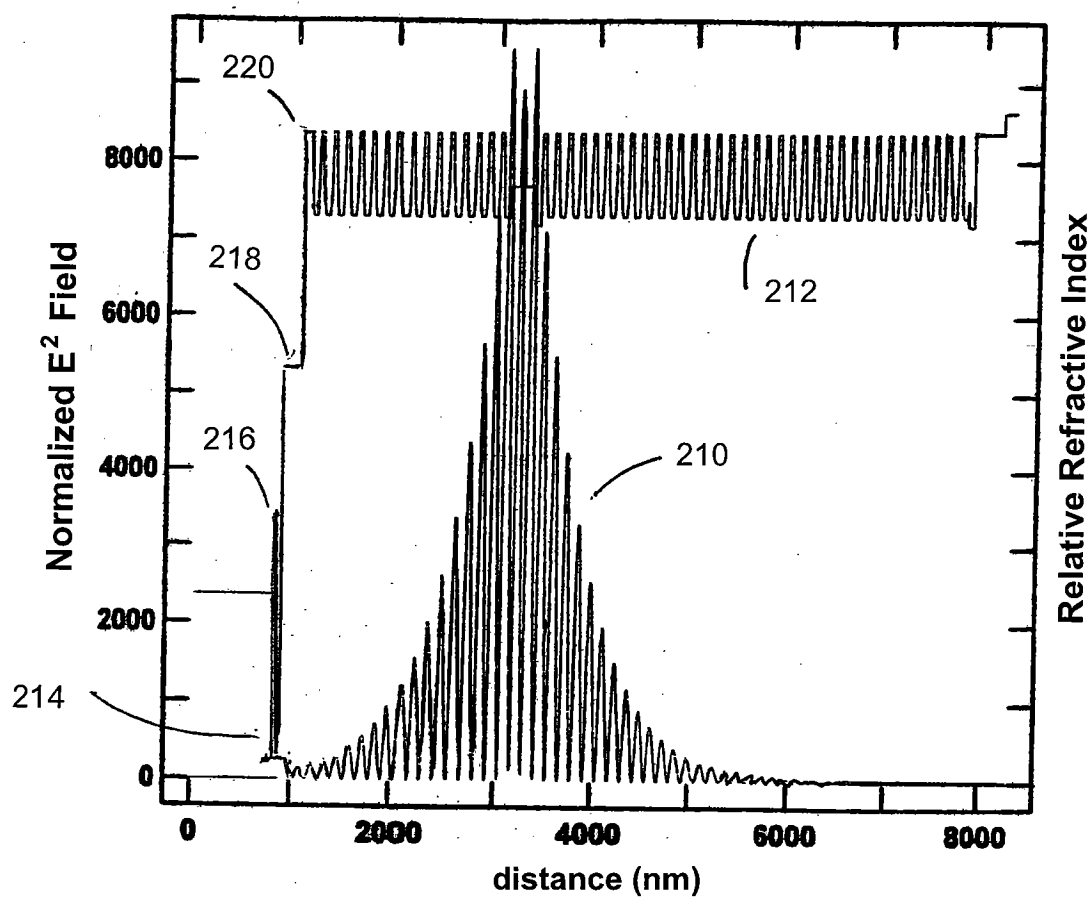


Fig. 34

29/30

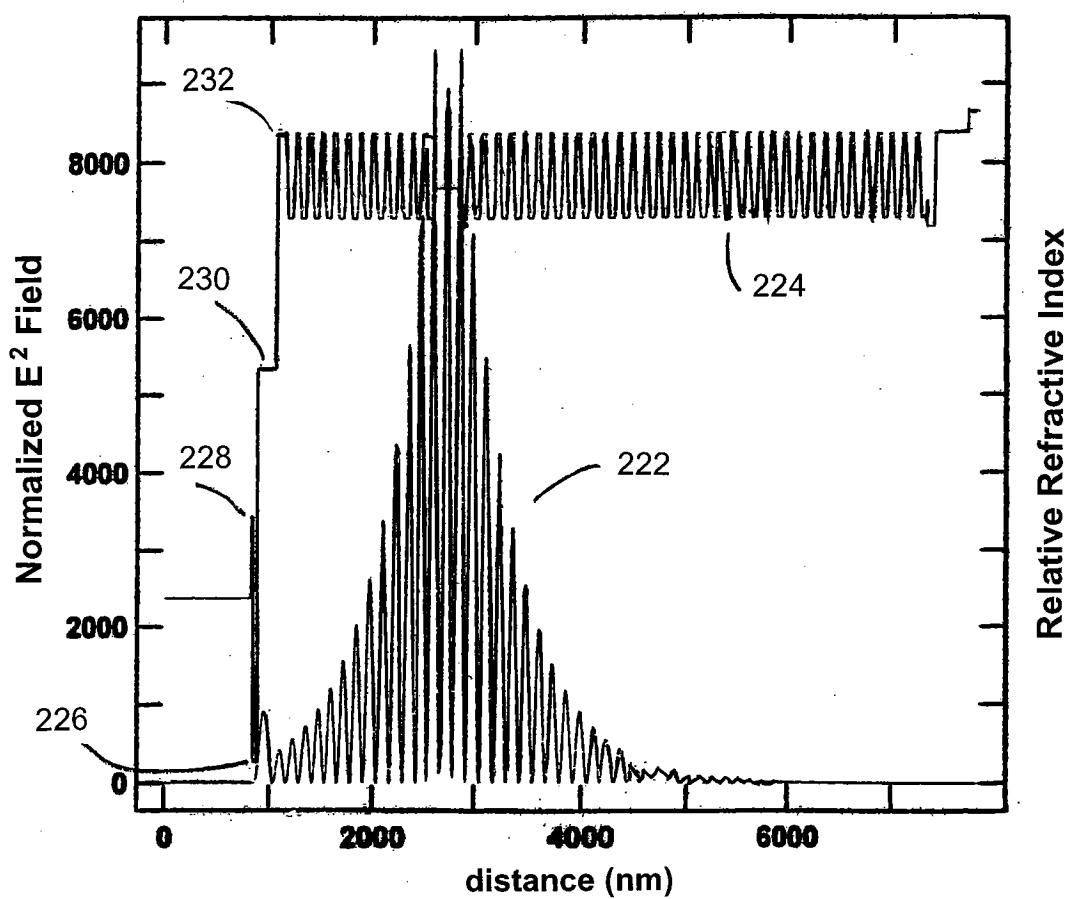


Fig. 35

30/30

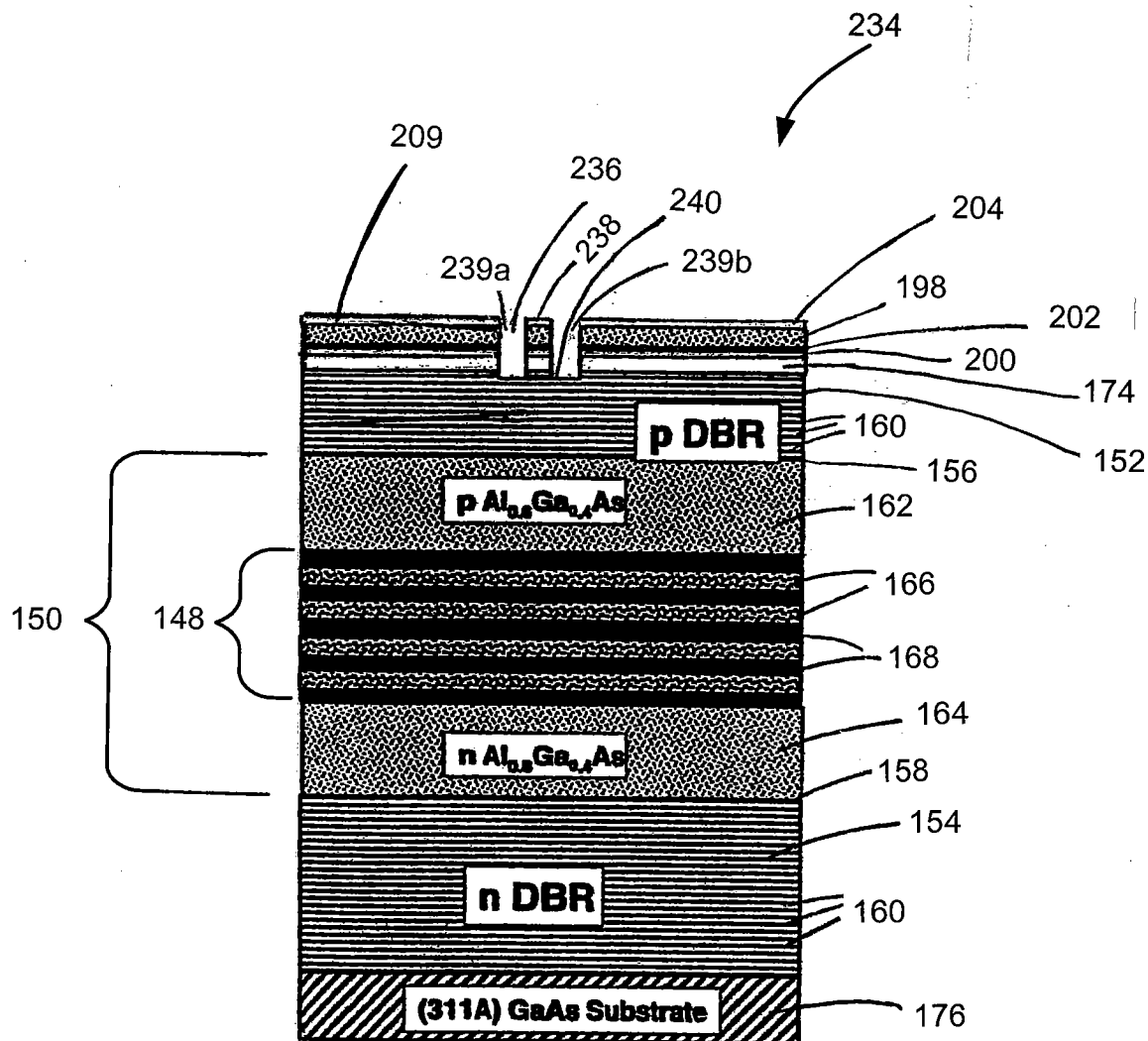


Fig. 36